

図 3.4.101 秋季における地衡流東西成分 (U) の東西断面分布 (50°N)

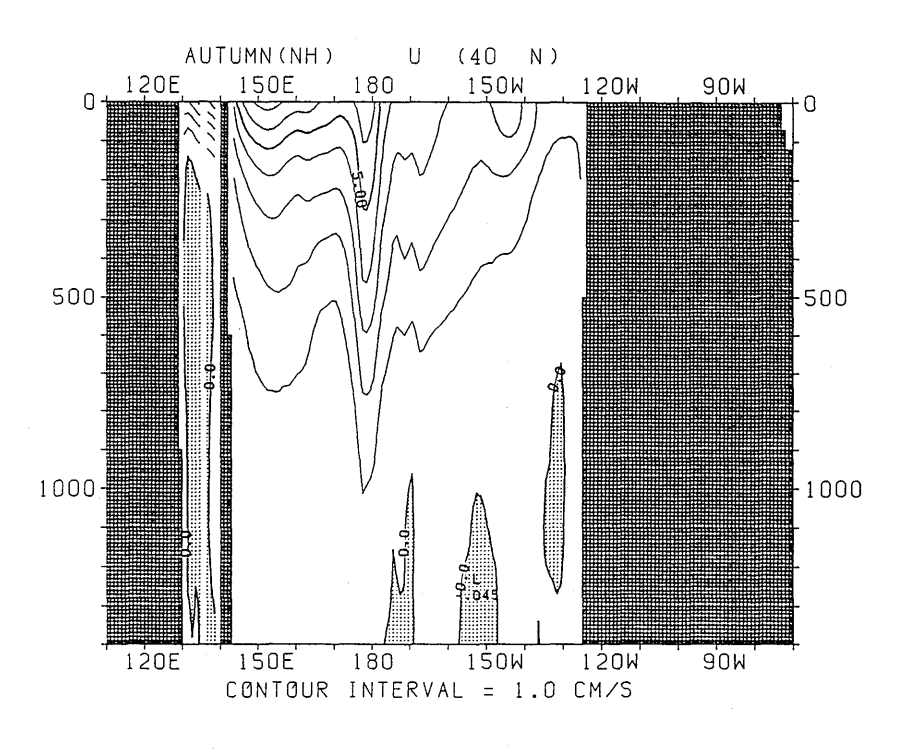


図 3.4.102 秋季における地衡流東西成分 (U) の東西断面分布 (40°N)

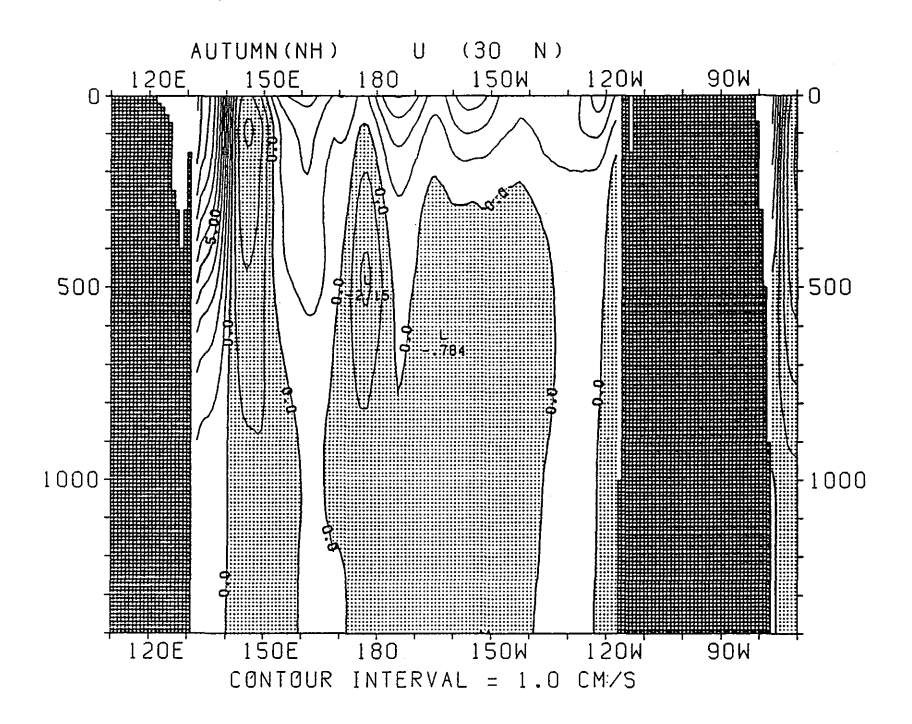


図 3.4.103 秋季における地衡流東西成分 (U) の東西断面分布 (30°N)

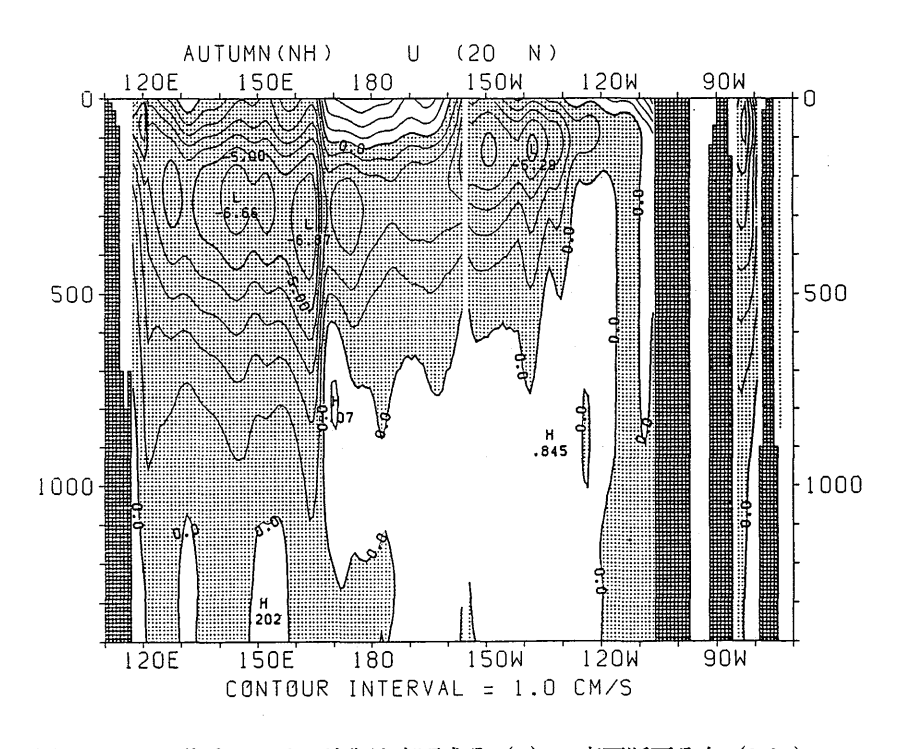


図 3.4.104 秋季における地衡流東西成分(U)の東西断面分布(20°N)

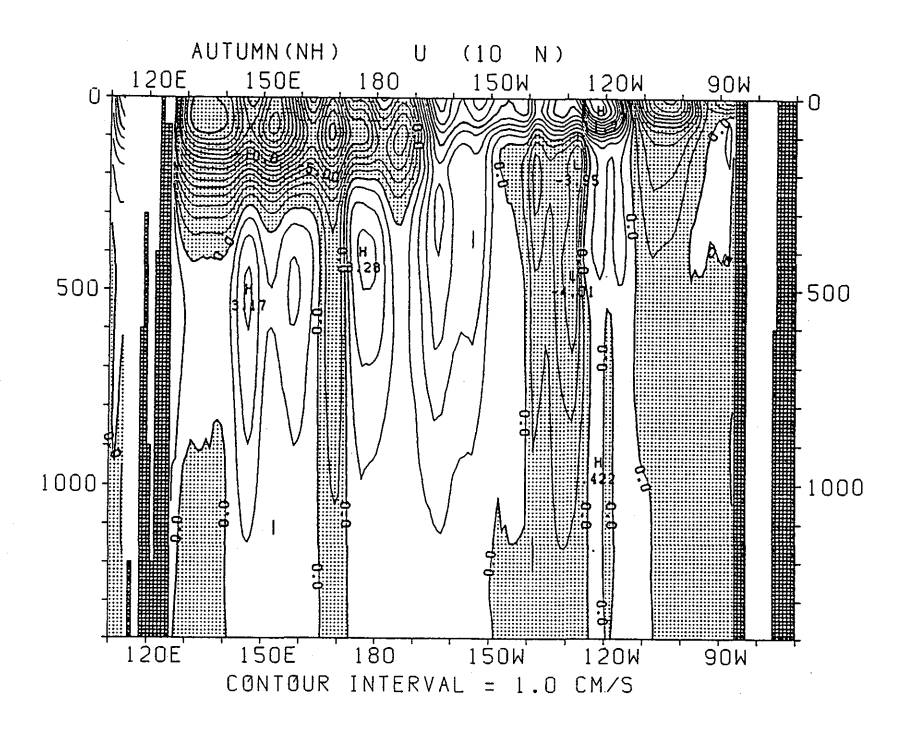


図 3.4.105 秋季における地衡流東西成分 (U) の東西断面分布  $(10^{\circ}N)$ 

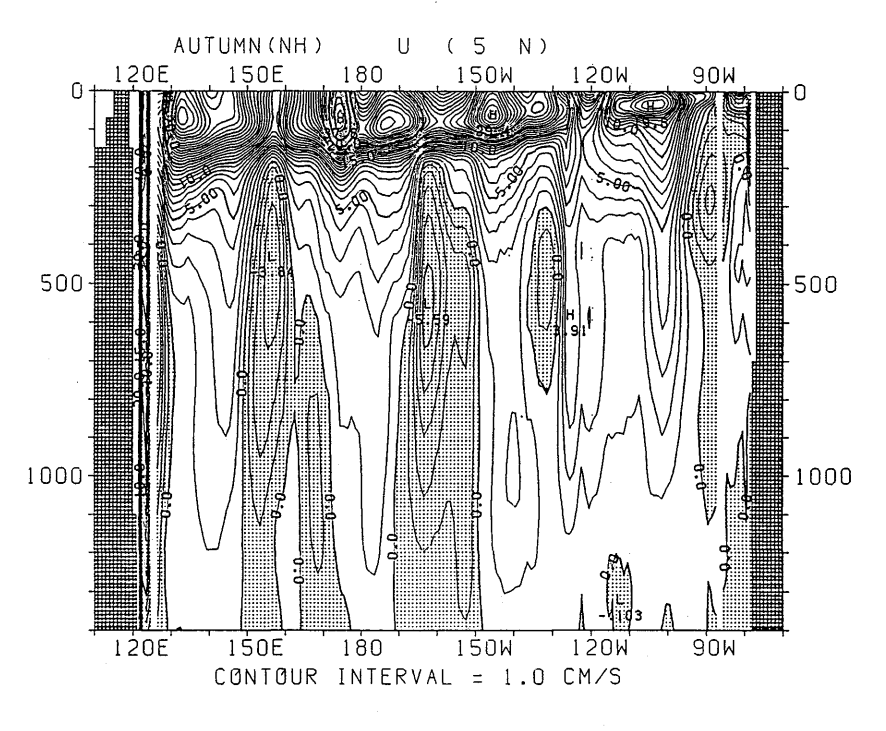


図 3.4.106 秋季における地衡流東西成分 (U) の東西断面分布 (5°N)

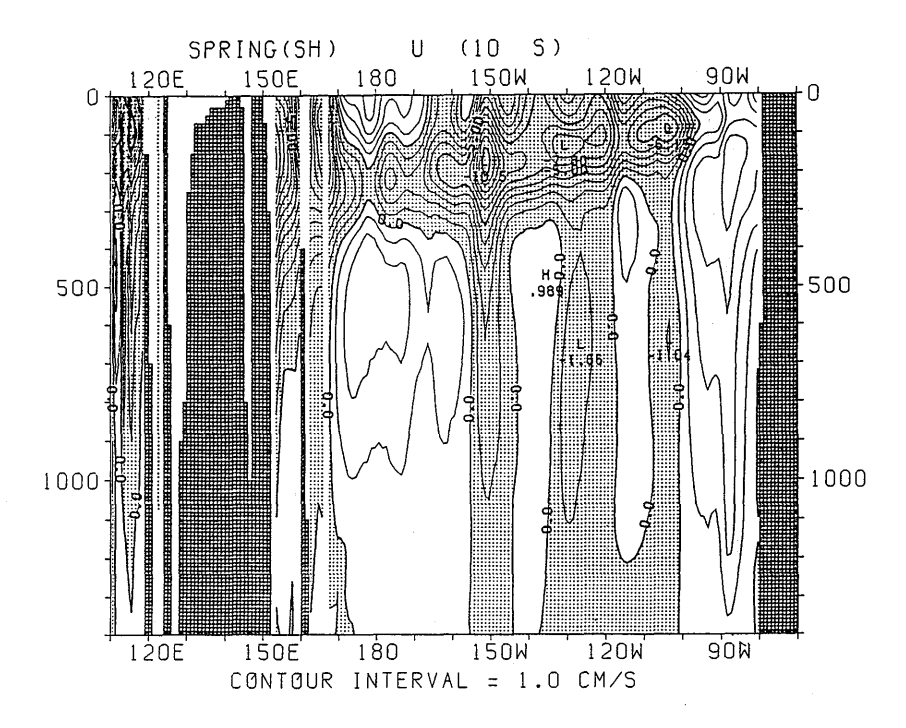


図 3.4.107 春季 (南半球) における地衡流東西成分 (U) の東西断面分布 (10°S)

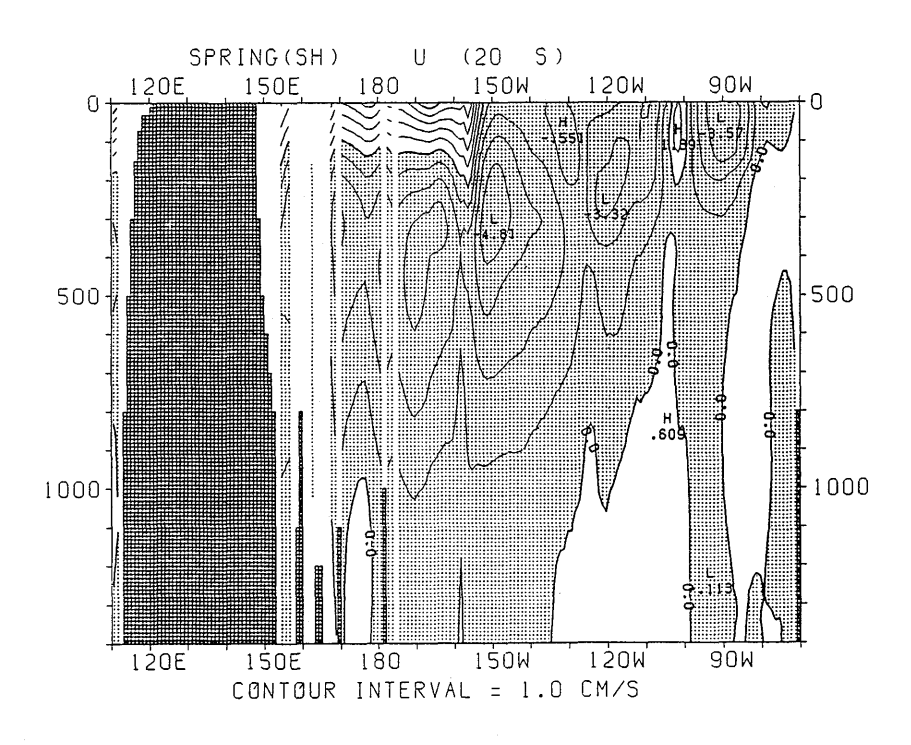


図 3.4.108 春季 (南半球) における地衡流東西成分 (U) の東西断面分布 (20°S)

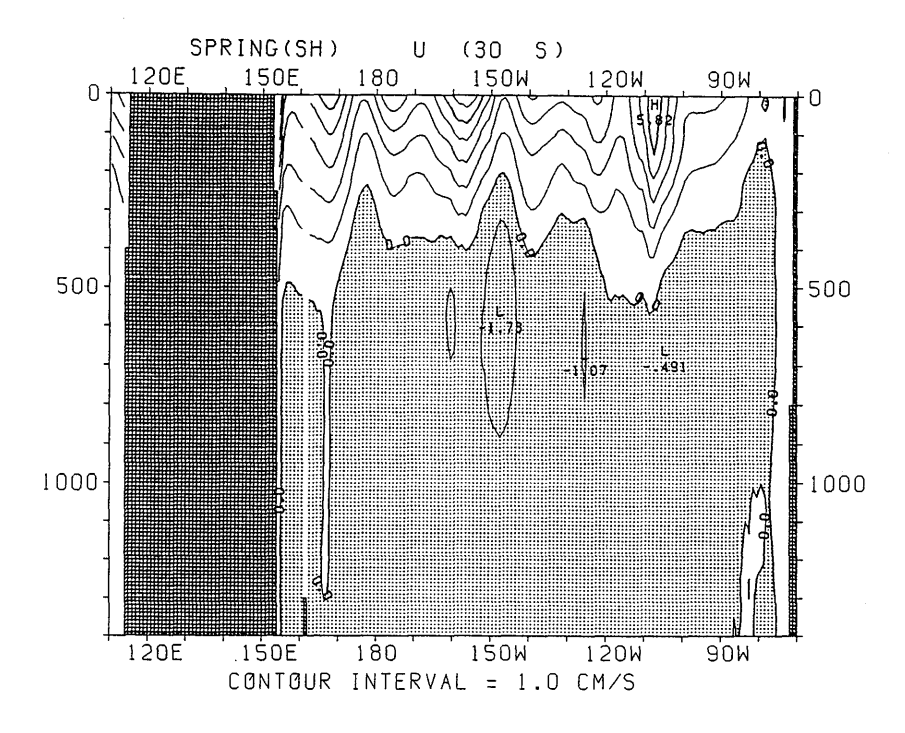


図 3.4.109 春季(南半球)における地衡流東西成分(U)の東西断面分布(30℃)

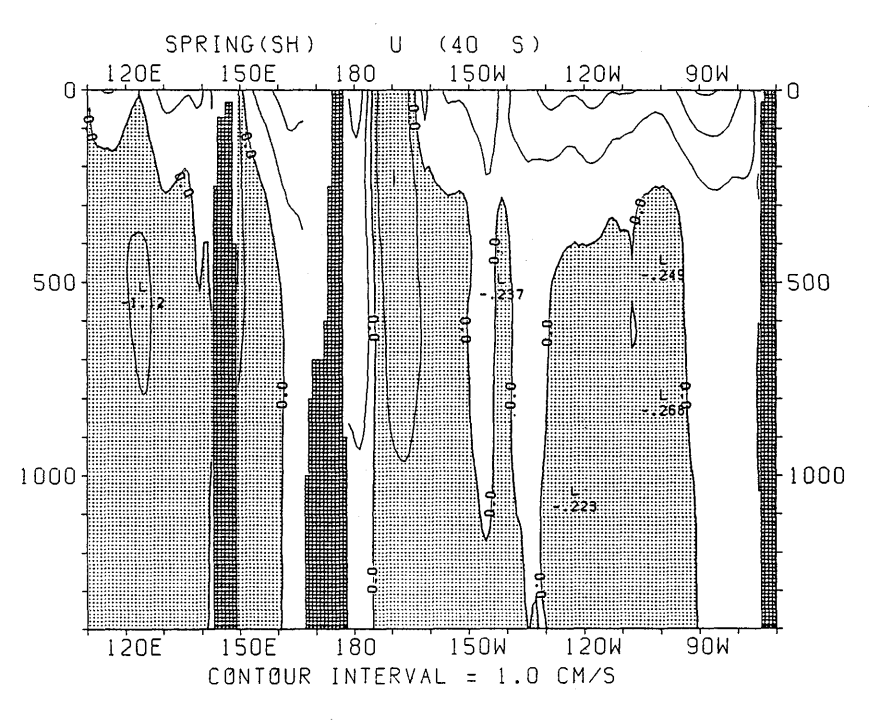


図 3.4.110 春季 (南半球) における地衡流東西成分 (U) の東西断面分布 (40°S)

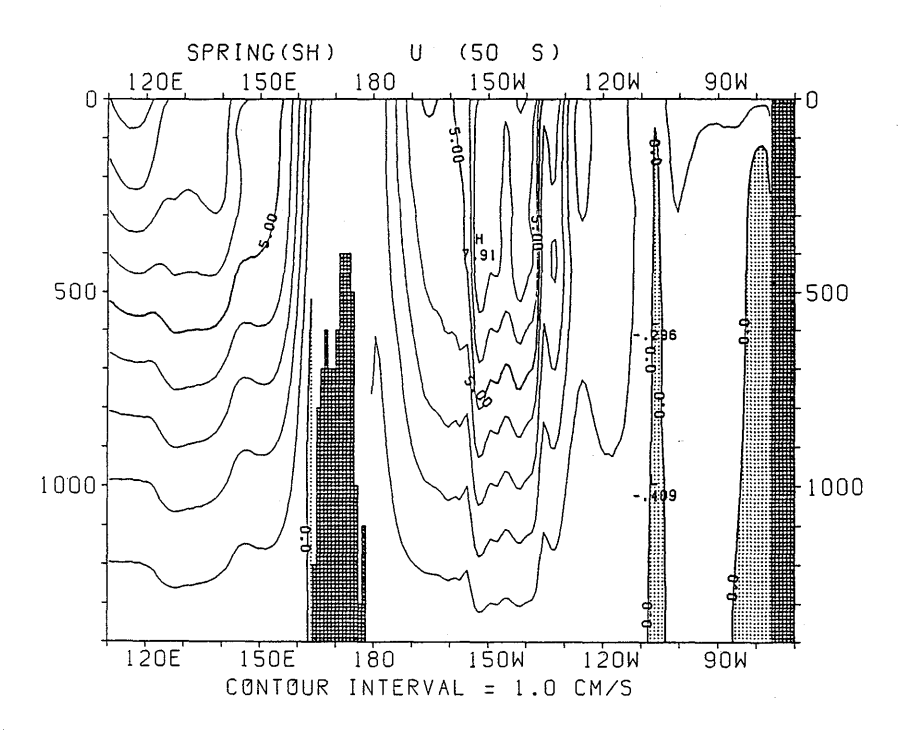


図 3.4.111 春季 (南半球) における地衡流東西成分 (U) の東西断面分布 (50°S)

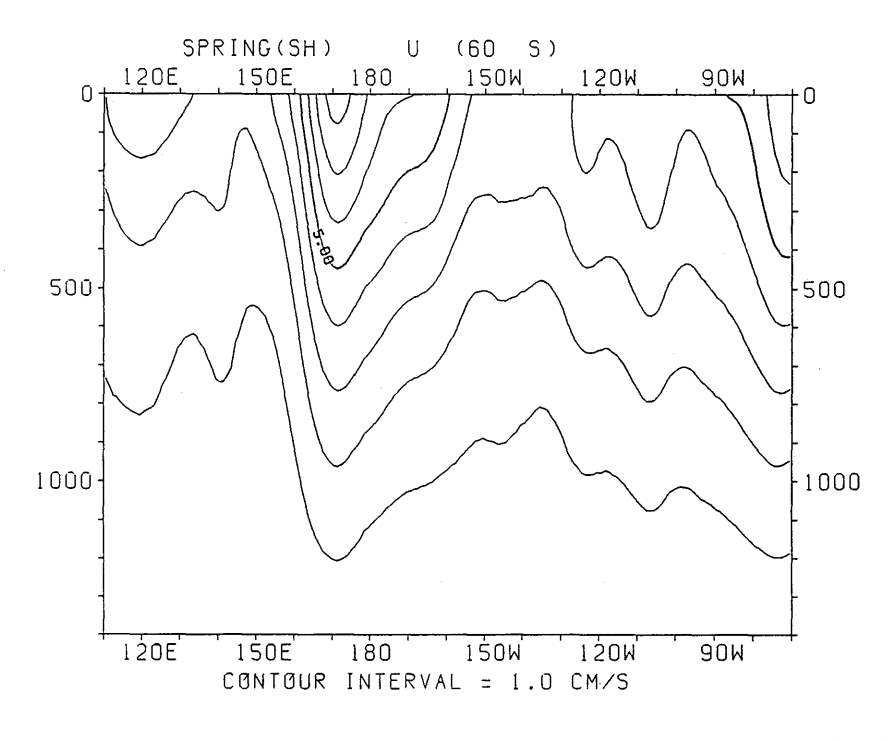


図 3.4.112 春季 (南半球) における地衡流東西成分 (U) の東西断面分布 (60°S)